



Propagation d'Incertitudes pour les Systèmes de Lois de Conservation

G. Poëtte †,‡, B.
Després †, D.
Lucor ‡

G. Poëtte †,‡ B. Després † D. Lucor ‡

† *CEA, DAM, DIF, F - 91297
Arpajon, France*

‡ *Institut Jean Le Rond D'Alembert, Paris VI*

poette@ocre.cea.fr/gael.poette@gmail.com

Gdr Mascot-Num, Institut Galilée, Mars 2009

Plan

Contexte
SLC
Chaos Poly.

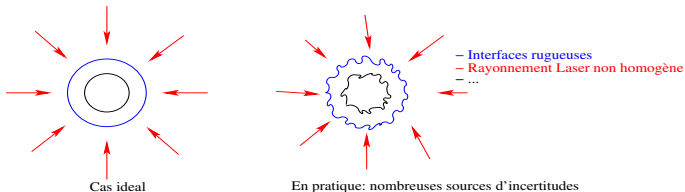
Partie Th.
* PC et SLC
* Entropie
Th. Cinétique
Th. Moments
* IPMM

Partie Num.
* Burgers
* Euler 2D

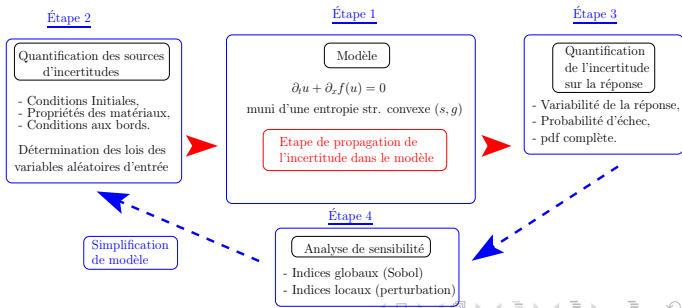
Conclusion

- 1 Contexte et Motivations
 - Systèmes de Lois de Conservation
 - Chaos Polynomial
- 2 Partie Théorique
 - * Chaos Polynomial Intrusif et Systèmes de Lois de Conservation
 - * Introduction de l'entropie
 - Analogie avec la Théorie Cinétique
 - Analogie avec Théorie des Moments pour la fermeture du système tronqué
 - * Méthode Intrusive aux Moments Polynomiaux
- 3 Partie Numérique
 - * Équation de Burgers non visqueuse
 - * Application à la dynamique des gaz compressibles
- 4 Conclusion

● Fusion par Confinement Inertiel (FCI)



● Propagation d'Incertitudes \subset Analyse d'incertitudes



1 Modèle : Système de lois de conservation non linéaires hyperboliques¹

$$\partial_t u(x, t) + \partial_x f(u(x, t)) = 0, u(x, t) \in \mathcal{U} \subset \mathbb{R}^n.$$

Plan

Contexte

SLC

Chaos Poly.

Partie Th.

* PC et SLC

* Entropie

Th. Cinétique

Th. Moments

* IPMM

Partie Num.

* Burgers

* Euler 2D

Conclusion

Le système est hyperbolique (math. bien posé) pour u dans l'invariant de domaine \mathcal{U}

- si $\forall u \in \mathcal{U}, A(u) = \nabla_u f(u)$ est diagonalisable dans \mathbb{R} dans une base complète de vecteurs propres.
- s'il existe une entropie mathématique strictement convexe (s, g) :

$$\nabla_{u,u}^2 s(u) > 0, \forall u \in \mathcal{U} \text{ et } \partial_t s(u) + \partial_x g(u) \leq 0.$$

- 2 UQ sur les entrées : en pratique dans cet exposé, lois uniformes. Les résultats restent valables pour pdf quelconques.
- 3 UQ sur les sorties : on souhaite pouvoir faire une analyse complète des pdf des sorties.
- 4 Analyse de sensibilité : ...
- 5 Étape de propagation : Résolution d'EDP stochastiques (Monte Carlo, perturbation, Chaos Polynomial, ...)

¹ Serre I et II

- Chaos Polynomial (PC) : Théorème de Cameron Martin³ (generalisation th. de Weierstrass)

$$\text{Si } \int_{\omega \in \Omega} u^2(\omega) d\mathcal{P}(\omega) < \infty, \text{ alors on a } \Pi^P u(\Xi(\omega)) = \sum_{k=0}^P u_k \phi_k(\Xi(\omega)) \xrightarrow[\mathcal{P} \rightarrow \infty]{L^2(\Omega, \mathcal{P})} u(\omega),$$

où

- (Ω, \mathcal{P}) est un espace de probabilité.
- Ξ est une v.a. gaussienne de mesure de proba $d\mathcal{P}_\Xi(\xi) = \frac{e^{-\frac{\xi^2}{2}}}{\sqrt{2\pi}} d\xi$,
- $(\phi_k)_{k \in \mathbb{N}}$ la base des polynômes d'Hermite,
- $u_k = \int_{\omega \in \Omega} u(\omega) \phi_k(\Xi(\omega)) d\mathcal{P}(\omega)$,

- Quelques propriétés des PC :

Étape 2	Généralisation à des pdf arbitraire ⁴ : ex : $-u \sim \mathcal{N}(\mu, \sigma^2)$, $\implies u(\Xi) = \mu \phi_0^H(\Xi) + \sigma \phi_1^H(\Xi)$ où $(\phi_k^H)_{k \in \mathbb{N}}$ sont les polynômes d'Hermite
Étape 3	Représentation paramétrique $u(\xi)$: ex : moyenne u_0 , std $\sigma_u = \sum_{k=1}^{\infty} u_k^2$, skewness, kurtosis, ...
Étape 4	ex : Indices de Sobol fonction des $(u_k)_{k \in \mathbb{N}}$ ⁵
Propagation	Choix entre $\left\{ \begin{array}{l} \text{Non Intrusive (integration numérique)}^6 \\ \text{Intrusive (Galerkin)}^7 \end{array} \right.$

²Wiener (1939), ³Cameron-Martin (1957), ⁴ Karniadakis (2005), ⁵ Sudret (2007), ⁶ Lucor (2004), ⁷ Karniadakis (2002)

Illustration sur un exemple simple : p-système en coordonnées lagrangiennes.

$$\begin{cases} \partial_t \tau - \partial_m u & = 0, \\ \partial_t u + \partial_m p(\tau) & = 0, \end{cases} \text{ hyperbolique et } \frac{\partial p}{\partial \tau} < 0 \text{ avec la fermeture } p(\tau).$$

Application de la méthode intrusive à ce problème :

- $(\phi_k)_{k \in \{0, \dots, P\}}$ BON/mesure uniforme sur $[-1, 1]$, $d\mathcal{P}(\xi) = \frac{1}{2} d\xi$.

- On développe τ, u sur la BON : $m = \sum_{k=0}^P m_k \phi_k$ avec $m_k = \int m \phi_k d\mathcal{P}$.

- $$\begin{cases} \partial_t \begin{pmatrix} \tau_0 \\ \dots \\ \tau_P \end{pmatrix} - \partial_m \begin{pmatrix} u_0 \\ \dots \\ u_P \end{pmatrix} = 0, \\ \partial_t \begin{pmatrix} u_0 \\ \dots \\ u_P \end{pmatrix} + \partial_m \begin{pmatrix} p_0 \\ \dots \\ p_P \end{pmatrix} = 0. \end{cases}$$

\implies 2 conditions nécessaires d'hyperbolicité :

$$(CN_1) A_{i,j} = \frac{\partial p_i}{\partial \tau_j} < 0 \quad \text{et} \quad (CN_2) \sum_{k=0}^P \tau_k \phi_k > 0.$$

Trois principales difficultés :

- Dimensions stochastiques importantes : dimension N et polynômes de degrés Q
 \implies le nombre de termes dans notre développement polynomial est alors $P = \frac{(N+Q)!}{Q!N!}$.
- Besoin de définir $p_k(\tau_0, \dots, \tau_P)$ à partir de $p(\tau)$ non linéaire³ : (CN_1)
- Système de Lois de Conservation/solutions discontinues/Hyperbolicité : (CN_2)

³ [Debusshere et al. \(2004\)](#)

b.) Fermeture et non linéarités : test de la condition CN_1

Considérons deux lois de fermeture du système non tronqué : $p(\tau) = \frac{1}{\tau^2}$ et $p(\tau) = -\ln(\tau)$.

Debusshere *et al.* propose plusieurs façons pour traiter les non linéarités :

$$1.) \quad \tau^2 p = 1 \implies \sum_{i,j,k=0}^P \tau_i \tau_j p_k c_{i,j,k,l} = \delta_{0,l} \quad \forall l \in \{0, \dots, P\}.$$

$$2.) \quad \text{Taylor de } p \text{ au voisinage de } \tau_0 : p = \frac{1}{\tau^2} \approx \frac{1}{\tau_0^2} - 2 \frac{\tau - \tau_0}{\tau_0^3} + \dots$$

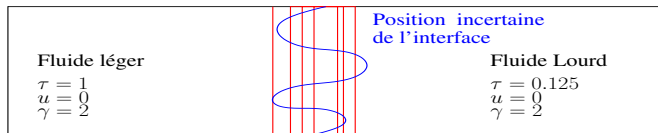
$$3.) \quad \text{Witteveen } et \text{ al. } p_k(\tau_0, \dots, \tau_P) = \int p \left(\sum_{l=0}^P \tau_l \phi_l \right) \phi_k dP, \quad \forall k \in \{0, \dots, P\}.$$

Les représentations cv mais permettent-elles à notre système de conserver ses propriétés ?

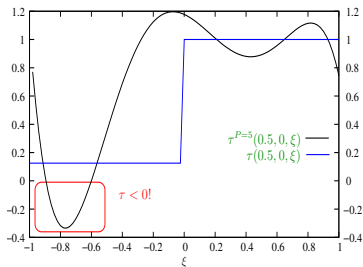
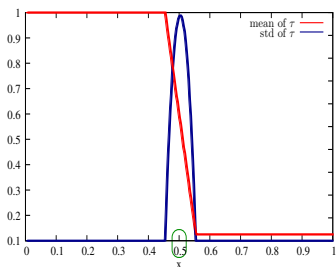
$p(\tau) = \frac{1}{\tau^2}$	1.)	2.)	3.)
Système $P = 1$	hyperbolique	faiblement hyperbolique	hyperbolique
Système $P = 2$	hyperbolique	faiblement hyperbolique	?
Système $\forall P$?	?	?
Pression $P = 1$	négative	négative	positive
Pression $P = 2$	négative	négative	positive
Pression $\forall P$?	?	positive
$p(\tau) = -\ln(\tau)$	1.)	2.)	3.)
Système $P = 1$	Non applicable	faiblement hyperbolique	hyperbolique
Système $P = 2$	Non applicable	faiblement hyperbolique	?
Système $\forall P$	Non applicable	?	?

- ? Construit-on des systèmes bien posés ? Difficultés dès que P devient trop grand.

- Il existe τ_0, \dots, τ_P admissibles ($\sum_{k=0}^P \tau_k \phi_k > 0$) tels que la pression est négative !
 \implies Engendre des difficultés au niveau des schémas numériques ($c = \sqrt{\gamma p \tau}$)!

c.) Phénomène de Gibbs : test de la condition CN_2 Phénomène de Gibbs⁴ : pb de Riemann stochastique $x_{interface}(t=0) = x_0 + \sigma \Xi$ où $\Xi \sim$ loi uniforme sur $[-1, 1]$.

Réalizations de l'interface



4

Karniadakis ME-gPC, Lemaître Multi Resolution Analysis (Ondelettes), Abgrall ENO/WENO-like, Xiu ENO/WENO-like

Système de lois de conservation hyperbolique : Ξ un vecteur aléatoire de mesure $d\mathcal{P}$:

$$\partial_t u(x, t, \Xi) + \partial_x f(u(x, t, \Xi)) = 0, \text{ avec son entropie mathématique } (s, g) \in \mathbb{R} \text{ telle que}$$

$$\partial_t s(u(x, t, \Xi)) + \partial_x g(u(x, t, \Xi)) \leq 0.$$

Question : si $\|u(x, 0, \cdot)\|_{L^2(\Omega)} < \infty, \forall x \in \mathcal{D} \subset \mathbb{R}$, est ce toujours le cas à un temps t quelconque et pour des solutions discontinues ? (conditions d'applications du théorème de Cameron-Martin).

Plan

Contexte

SLC

Chaos Poly.

Partie Th.

* PC et SLC

* **Entropie**

Th. Cinétique

Th. Moments

* IPMM

Partie Num.

* Burgers

* Euler 2D

Conclusion

- Cas scalaire (n=1) : $s(u) = \frac{u^2}{2}$ est une entropie.

$$\frac{d}{dt} \int_{\mathcal{D}} \int_{\Omega} \frac{u^2(x, t, \Xi(\omega))}{2} d\mathcal{P}(\omega) dx \leq 0,$$

$$\int_{\mathcal{D}} \|u(x, T, \cdot)\|_{L^2(\Omega)}^2 dx \leq \int_{\mathcal{D}} \|u(x, 0, \cdot)\|_{L^2(\Omega)}^2 dx < \infty.$$

- $u \in \mathbb{R}^n (n > 1)$:

$$\int_{\mathcal{D}} \int_{\Omega} s(u(x, T, \Xi(\omega))) d\mathcal{P}(\omega) dx \leq \int_{\mathcal{D}} \int_{\Omega} s(u(x, 0, \Xi(\omega))) d\mathcal{P}(\omega) dx < \infty.$$

On suppose l'entropie α -convexe $\xrightarrow{\text{d\'ef.}}$ $\exists \beta > 0, \delta \in \mathbb{R}$ tels que

$$\beta \int_{\mathcal{D}} \|u(x, T, \cdot)\|_{L^2(\Omega)}^2 dx - \delta < \infty.$$

Ceci justifie la convergence du développement en PC $\forall t$ y compris pour les solutions discontinues.  

Analogie entre Théorie Cinétique et Chaos Polynomial

Analogie entre théorie cinétique et propagation d'incertitudes :

Théorie Cinétique

$$\partial_t f + v \cdot \nabla_x f + a \cdot \nabla_v f = C(f)$$

$$f(x, t, v) dv$$

$$\text{Multiplicateurs } \Phi(x, t, v) = 1, v, v^2, \dots$$

Moments de f :

$$\rho = \int f dv = \langle 1 \rangle$$

$$\rho u = \int f v dv = \langle v \rangle$$

...

Système tronqué associé à f ($C = 0, a = 0$)

$$\begin{cases} \partial_t \langle 1 \rangle + \partial_x \langle v \rangle = 0, \\ \dots \\ \partial_t \langle v^k \rangle + \partial_x \langle v^{k+1} \rangle = 0, \\ \dots \\ \partial_t \langle v^P \rangle + \partial_x \langle v^{P+1} \rangle = 0. \end{cases}$$

Propagation d'Incertitudes

$$\partial_t u(x, t, \Xi) + \partial_x f(u(x, t, \Xi)) = 0$$

$$u(x, t, \Xi(\omega)) d\mathcal{P}(\omega)$$

$$\text{Multiplicateurs } \Phi = \phi_0, \phi_1, \dots$$

Moments de u :

$$u_0 = \int u \phi_0 d\mathcal{P}$$

$$u_1 = \int u \phi_1 d\mathcal{P}$$

...

Système tronqué associé à u

$$\begin{cases} \partial_t u_0 + \partial_x f_0 = 0, \\ \dots \\ \partial_t u_k + \partial_x f_k = 0, \\ \dots \\ \partial_t u_P + \partial_x f_P = 0. \end{cases}$$

⇒ Il reste à fermer les systèmes (PC : étape "traitement des non linéarités").

Plan

Contexte

SLC

Chaos Poly.

Partie Th.

* PC et SLC

* Entropie

Th. Cinétique

Th. Moments

* IPMM

Partie Num.

* Burgers

* Euler 2D

Conclusion

Théorie des moments : résolution du problème inverse sous déterminé ⁵

Trouver $f \in L^2(\Omega, \mathcal{F}, \mathcal{P})$ tel que $\mu^P(f) = (f_0, \dots, f_P)^t$ où μ^P est défini par

$$\mu^P : \begin{array}{ccc} L^2(\Omega, \mathcal{F}, \mathcal{P}) & \longmapsto & \mathbb{R}^{P+1} \\ f & \longrightarrow & (f_0, \dots, f_P)^t, \end{array} \quad (1)$$

$$\text{où } \forall k \in \{0, \dots, P\}, f_k = \int_{\Omega} l_k f d\mathcal{P},$$

où $(l_i)_{i \in \{0, \dots, P\}}$ sont des fonctions réelles définies sur Ω et formant une base de $L^2(\Omega, \mathcal{F}, \mathcal{P})$.

Non unicité de la distribution f

\implies Introduction de l'entropie de fermeture (de Shannon) : $\eta(f) = \int f \ln(f) d\mathcal{P}$.

Recherche de f sous la forme du minimum de η sous les contraintes (1) \implies Unicité de f .

Trouver les multiplicateurs de Lagrange $(\lambda_k)_{k \in \{0, \dots, P\}}$ minimisant

$$T(\lambda_0, \dots, \lambda_P) = - \int \eta(f(\lambda_0, \dots, \lambda_P)) d\mathcal{P} + \sum_{k=0}^P \int f(\lambda_0, \dots, \lambda_P) \lambda_k l_k d\mathcal{P} - \sum_{k=0}^P f_k \lambda_k. \quad (2)$$

⁵ Mead-Papanicolaou, Junk

Méthode Intrusive aux Moments Polynomiaux (IPMM)

- D'où le système à résoudre

$$\begin{cases} \partial_t u_0(\lambda_0, \dots, \lambda_P) + \partial_x f_0(\lambda_0, \dots, \lambda_P) = 0, \\ \partial_t u_k(\lambda_0, \dots, \lambda_P) + \partial_x f_k(\lambda_0, \dots, \lambda_P) = 0, \\ \partial_t u_P(\lambda_0, \dots, \lambda_P) + \partial_x f_P(\lambda_0, \dots, \lambda_P) = 0. \end{cases}$$

où $(\lambda_k)_{k \in \{0, \dots, P\}}$ minimise

$$T(\lambda_0, \dots, \lambda_P) = - \int \eta(f(\lambda_0, \dots, \lambda_P)) d\mathcal{P} + \sum_{k=0}^P \int f(\lambda_0, \dots, \lambda_P) \lambda_k l_k d\mathcal{P} - \sum_{k=0}^P f_k \lambda_k. \quad (3)$$

- \implies Variation fonctionnelle par rapport à f :

$$\nabla_u \eta(f(\lambda_0, \dots, \lambda_P)) = \sum_{k=0}^P \lambda_k l_k, \quad \text{i.e. } f(\lambda_0, \dots, \lambda_P) = (\nabla_f \eta)^{-1} \left(\sum_{k=0}^P \lambda_k l_k \right).$$

- Retour à notre problème aux moments sur la base de PC :

- Approche valide pour toute entropie strictement convexe η .

- Si $\eta(u) = \frac{u^2}{2}$, alors $(\nabla_u \eta)^{-1}(\lambda) = u$ et on retrouve l'approche classique (sG-gPC).

- Si $\eta(\tau) = \tau \ln(\tau) - \tau$, alors $(\nabla_\tau \eta)^{-1}(\lambda) = \tau(\lambda) = e^\lambda > 0$: le choix de l'entropie dépend des invariants de domaine à respecter.

- Si $\eta = s$, i.e. entropie de fermeture = entropie mathématique du système, alors $\nabla_u s(u) = \lambda = v$ la variable adjointe **RET de Ruggeri-Müller**

- Propriétés du nouveau système

- Le nouveau système est hyperbolique $\forall P \in \mathbb{N}$.

- Il possède une entropie str. convexe : $(S, G) = \left(\int s d\mathcal{P}, \int g d\mathcal{P} \right)$.

- Possibilité de préserver les invariants de domaine (contraindre la solution $u^P \in \mathcal{U}$). ↻ 🔍

Plan

Contexte
SLC
Chaos Poly.

Partie Th.
* PC et SLC
* Entropie
Th. Cinétique
Th. Moments
* IPMM

Partie Num.
* Burgers
* Euler 2D

Conclusion

Description de L'algorithme

Début de pas de temps t^n	
Plan	Les moments $u_{k,i}^n = \int u(\Pi^P v_i^n) \phi_k d\mathcal{P}$ sont connus dans chaque maille i .
Contexte	Résolution d'un système de taille $n \times (P+1) : u_{k,i}^n \rightarrow u_{k,i}^{n+1}$
SLC	$\frac{1}{\Delta t} \begin{pmatrix} u_{0,j}^{n+1} - u_{0,j}^n \\ \dots \\ u_{P,j}^{n+1} - u_{P,j}^n \end{pmatrix} + \frac{1}{\Delta x} \begin{pmatrix} f_{0,d}^* - f_{0,g}^* \\ \dots \\ f_{P,d}^* - f_{P,g}^* \end{pmatrix} = 0.$
Chaos Poly.	
Partie Th.	Calcul de $V_i^{n+1} = (v_{0,i}^{n+1}, \dots, v_{P,i}^{n+1})^t$ depuis $U_i^{n+1} = (u_{0,i}^{n+1}, \dots, u_{P,i}^{n+1})^t$?
* PC et SLC	Minimisation de T str. convexe $T(V) = -\langle U_i^{n+1}, V \rangle + \langle U(V), V \rangle - S(U(V))$.
* Entropie	
Th. Cinétique	Newton (convergence quadratique) $\begin{cases} - V^k \rightarrow V^{k+1}, \\ - V^{k+1} = V^k - T'^{-1}(V^k)T(V^k), \\ - V^{k+1} - V^k < \epsilon_{Newt} = 10^{-13}, \\ - \text{avec } V_i^n \text{ pour "guess"}. \end{cases}$
Th. Moments	
* IPMM	Évaluation d'intégrales : méthodes standards de quadrature numérique
Partie Num.	$T'(V^k)_{m,l} = \int \nabla_{v,v} s^*(\Pi^P v_i^n) \phi_m \phi_l d\mathcal{P} \approx \sum_{t=0}^N w_t \nabla_{v,v} s^*(\Pi^P v_i^n(\xi_t)) \phi_m(\xi_t) \phi_l(\xi_t).$
* Burgers	Fin du pas de temps t^{n+1}
* Euler 2D	

Exemple de Burgers (Cas-test discontinu) $P = 5$.

	CIM	IPMM	taux=CIM/IPMM
temps CPU ($t \in [0, T = 0.09]$)	24 s.	55 s.	0.436
$L^2(\Omega)$ —Norme de l'erreur à (x, t) fixés	0.028122	0.003855	7.293

IPMM vs CIM \Rightarrow temps CPU $\times 2$ avec une précision $\times 7$.

Équation de Burgers avec IPMM, $v = \sum_{k=0}^P v_k \phi_k$

On contraint les oscillations dues aux phénomènes de Gibbs.

● Burgers : $\partial_t u + \partial_x \frac{u^2}{2} = 0$.

● Choix d'une entropie :

$$\begin{cases} s_0(u) = \frac{u^2}{2} & v(u) = u \\ s_1(u) = -\ln(u - u_-) & v(u) = -\frac{1}{u - u_-} \\ s_2(u) = -\ln(u - u_-) - \ln(u_+ - u) & v(u) = -\frac{1}{u - u_-} + \frac{1}{u_+ - u} \end{cases}$$

● Choix de u_+ et u_- → contrôle du domaine de définition de $u(v)$.

Plan

Contexte

SLC

Chaos Poly.

Partie Th.

* PC et SLC

* Entropie

Th. Cinétique

Th. Moments

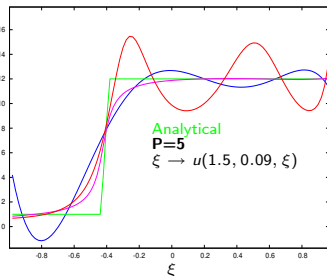
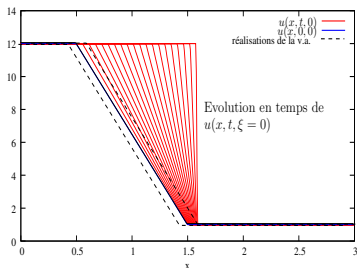
* IPMM

Partie Num.

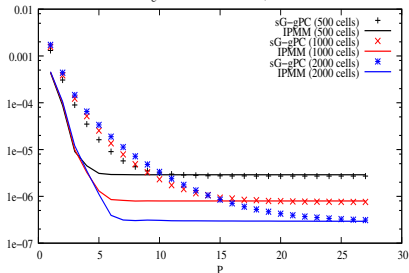
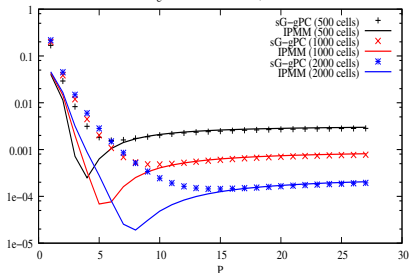
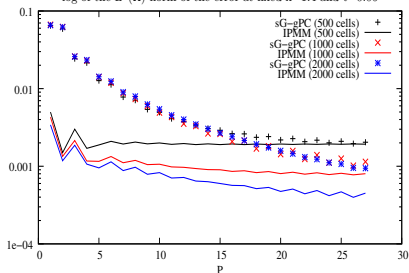
* Burgers

* Euler 2D

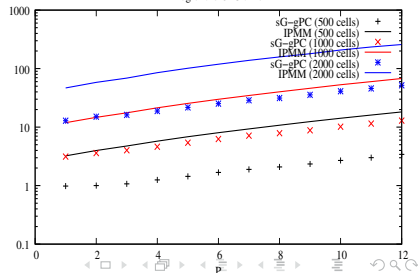
Conclusion



P-Convergence (cas-test discontinu)

log of the error for the mean, $t=0.06$ log of the error for the std, $t=0.06$ log of the $L^2(\Omega)$ -norm of the error at fixed $x=1.4$ and $t=0.06$ 

Log of the CPU time



Plan

Contexte

SLC

Chaos Poly.

Partie Th.

* PC et SLC

* Entropie

Th. Cinétique

Th. Moments

* IPMM

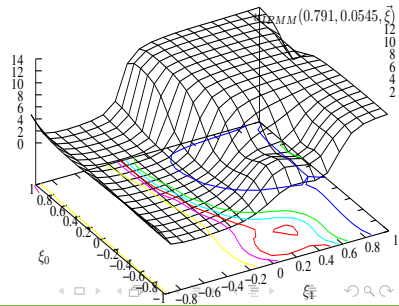
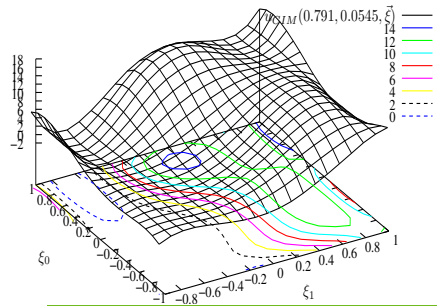
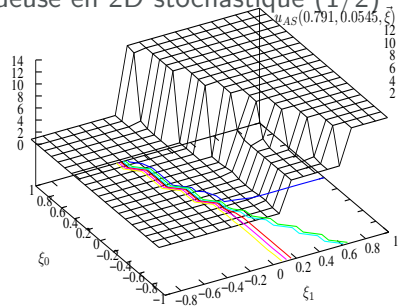
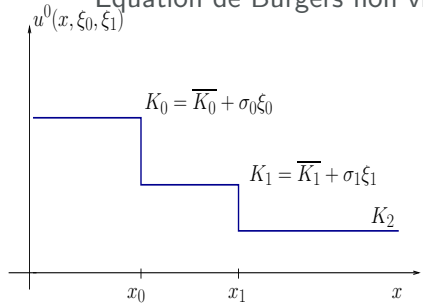
Partie Num.

* Burgers

* Euler 2D

Conclusion

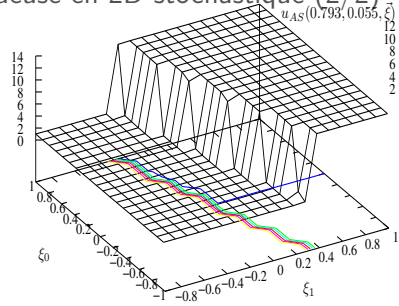
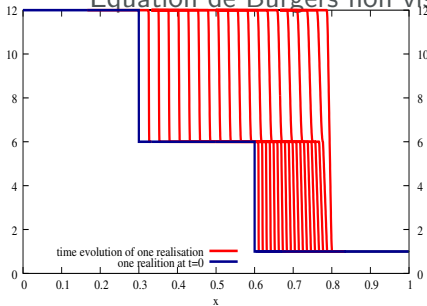
Équation de Burgers non visqueuse en 2D stochastique (1/2)



- Plan
- Contexte
- SLC
- Chaos Poly.
- Partie Th.
 - * PC et SLC
 - * Entropie
 - Th. Cinétique
 - Th. Moments
 - * IPMM
- Partie Num.
 - * Burgers
 - * Euler 2D
- Conclusion



Équation de Burgers non visqueuse en 2D stochastique (2/2)

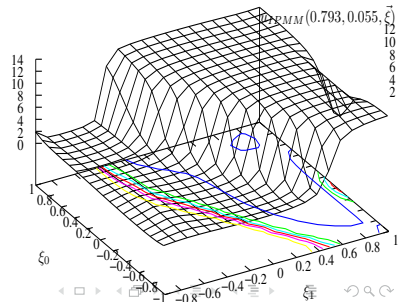
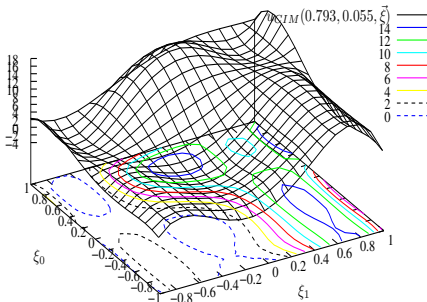


Plan
Contexte
SLC
Chaos Poly.

Partie Th.
* PC et SLC
* Entropie
Th. Cinétique
Th. Moments
* IPMM

Partie Num.
* Burgers
* Euler 2D

Conclusion



Dynamique des gaz compressibles

- Système de la dynamique des gaz compressibles en 2D d'espace :

$$\begin{cases} \partial_t \rho + \partial_x(\rho u) + \partial_y(\rho v) = 0, \\ \partial_t(\rho u) + \partial_x(\rho u^2 + p) + \partial_y(\rho uv) = 0, \\ \partial_t(\rho v) + \partial_x(\rho vu) + \partial_y(\rho v^2 + p) = 0, \\ \partial_t(\rho e) + \partial_x(\rho ue + pu) + \partial_y(\rho ve + pv) = 0, \end{cases}$$

avec une fermeture de type gaz parfait : $p = (\gamma - 1)\rho e$.

- Entropie du système : $s(\rho, \rho u, \rho v, \rho e) = -\rho \ln \left(\rho^{-\gamma} (\rho e - \frac{(\rho u)^2 + (\rho v)^2}{2\rho}) \right)$.
- Expression de $(\rho, \rho u, \rho v, \rho e)^t$ par rapport à la variable adjointe $V = (v_1, v_2, v_3, v_4)^t$.

$$\begin{pmatrix} \rho(V) \\ \rho u(V) \\ \rho v(V) \\ \rho e(V) \end{pmatrix} = \begin{pmatrix} e^{\frac{2v_1 v_4 - 2v_4 \ln(-v_4) - 2v_4 \gamma - v_2^2 - v_3^2}{2v_4(\gamma-1)}} \\ -\frac{v_2}{v_4} e^{\frac{2v_1 v_4 - 2v_4 \ln(-v_4) - 2v_4 \gamma - v_2^2 - v_2^2}{2v_4(\gamma-1)}} \\ -\frac{v_3}{v_4} e^{\frac{2v_1 v_4 - 2v_4 \ln(-v_4) - 2v_4 \gamma - v_2^2 - v_2^2}{2v_4(\gamma-1)}} \\ \frac{v_2^2 + v_3^2 - 2v_4}{2v_4^2} e^{\frac{2v_1 v_4 - 2v_4 \ln(-v_4) - 2v_4 \gamma - v_2^2 - v_3^2}{2v_4(\gamma-1)}} \end{pmatrix}.$$

⇒ Positivité de la densité de masse ρ assurée même lorsque V est un polynôme.

- Schéma Lagrange+projection d'ordre élevé avec splitting directionnel.

$R_{interface}(t = 0, \xi) = 0.5 + 0.05\xi$, $\xi \in [-1, 1]$ paramétrise une loi uniforme,

maillage 100×100 , $P = 5$, temps final $t = 0.14$, $\gamma = 1.4$.

Plan

Contexte

SLC

Chaos Poly.

Partie Th.

* PC et SLC

* Entropie

Th. Cinétique

Th. Moments

* IPMM

Partie Num.

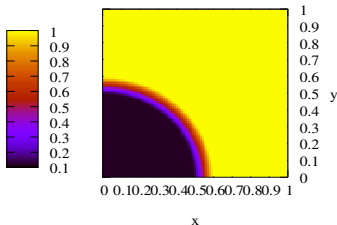
* Burgers

* Euler 2D

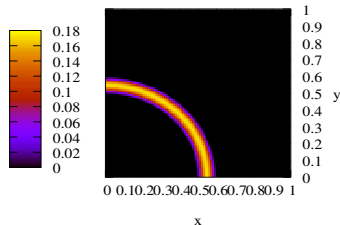
Conclusion

Euler 2D : Tube à chocs de Sod incertain (interface)

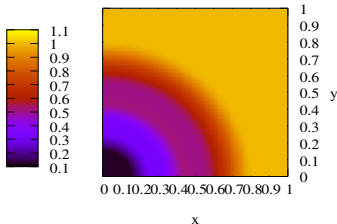
Sod shock tube, $t=0$, mean of ρ



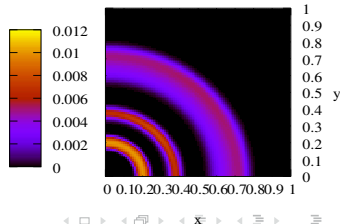
Sod shock tube, $t=0$, std of ρ



Sod shock tube, $t=T$, mean of ρ



Sod shock tube, $t=T$, std of ρ



Plan

Contexte

SLC

Chaos Poly.

Partie Th.

* PC et SLC

* Entropie

Th. Cinétique

Th. Moments

* IPMM

Partie Num.

* Burgers

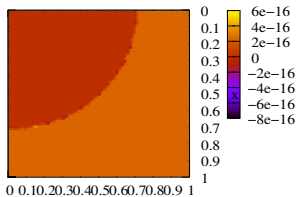
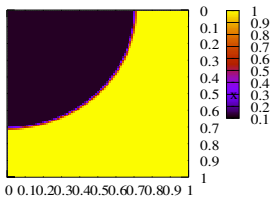
* Euler 2D

Conclusion

Euler 2D : Tube à chocs de Sod incertain (γ)

Mean of the mass density, $t=0$ ·····

Std of the mass density, $t=0$ ·····

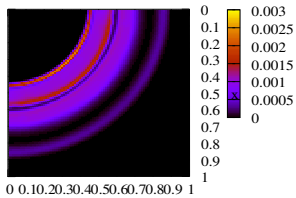
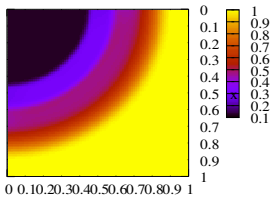


y

y

Mean of the mass density, $t=0.14$ ·····

Std of the mass density, $t=0.14$ ·····



y

y

Plan

Contexte

SLC

Chaos Poly.

Partie Th.

* PC et SLC

* Entropie

Th. Cinétique

Th. Moments

* IPMM

Partie Num.

* Burgers

* Euler 2D

Conclusion

- Bilan :
 - Problèmes des PC (non linéarités+Gibbs) sont aggravés par les difficultés inhérentes aux systèmes de lois de conservation (non linéarités+chocs).
 - La méthode classique ne préserve pas les invariants de domaine et dans certains cas l'hyperbolicité.

- Avec une analogie avec les méthodes aux moments ([RET Ruggeri-Müller](#), [Chen-Levermore-Liu, Junk...](#)), nous avons montré

- que le système tronqué (IPMM) est hyperbolique,

$$v(x, t, \xi) = \sum_{i=0}^P v_i(x, t) \phi_i(\xi)$$

- qu'il est possible de contrôler le phénomène de Gibbs,
- qu'il est possible de préserver les invariants de domaine ($\rho > 0$ cas Euler),
- que la méthode est en accord avec le principe de minimisation de l'entropie ([Ruggeri-Muller, Evans](#)).

- La méthode généralise la méthode sG-gPC.
- conservative, non adaptative.
- La méthode est plus coûteuse que la méthode classique (lorsqu'il est possible de les comparer).
- Plus de détails dans un papier JCP (DOI : 10.1016/j.jcp.2008.12.018).

- Perspectives :
 - Existence du minimum des fonctionnelles de l'entropie ([Mead-Papanicolaou/Junk](#)).
 - Caractérisation de la rugosité d'une interface (développement de Karhunen Loève \implies grande dimension stochastique).
 - Rédaction de ma thèse.

Plan

Contexte

SLC

Chaos Poly.

Partie Th.

* PC et SLC

* Entropie

Th. Cinétique

Th. Moments

* IPMM

Partie Num.

* Burgers

* Euler 2D

Conclusion